

01;05

Коллективные возбуждения в системе компенсированных дислокаций

© Ш.Х. Ханнанов,¹ С.П. Никаноров²

¹ Институт физики молекул и кристаллов Уфимского научного центра РАН,
450075 Уфа, Россия
e-mail: imcp@anrb.ru

² Физико-технический институт им. А.Ф. Иоффе РАН,
194021 Санкт-Петербург, Россия
e-mail: nikanorov@pop.ioffe.rssi.ru

(Поступило в Редакцию 17 апреля 2006 г.)

Теоретически исследованы колебательные коллективные возбуждения в системе компенсированных дислокаций, возникающие благодаря дальнедействующим упругим полям, связанным с неоднородной дислокационной поляризацией. Получены аналитические выражения для дисперсионных соотношений. Показано, что в случае винтовых дислокаций имеются две, а в случае краевых — три ветви коллективных возбуждений. В каждом случае для одной из ветвей характерно наличие пороговой частоты, зависящей от плотности дислокаций.

PACS: 61.72.Bb

Теоретическое исследование эволюции и свойств дислокационной структуры с учетом возможных коллективных эффектов — одна из актуальных задач в физике реальных кристаллических тел. Хорошо известным коллективным эффектом является дислокационное внутреннее трение, на котором основан широко используемый метод экспериментального изучения субструктуры [1–3]. В существующих теориях внутреннего трения взаимодействие колеблющихся дислокаций не учитывается, что оправдано только при малой плотности дислокаций. В настоящее время в связи с интенсивным исследованием больших деформаций [4–6] необходимо изучить влияние дальнедействия дислокаций, которое может приводить к коллективным колебательным возбуждениям. Это необходимо не только для продвижения метода внутреннего трения в область высоких плотностей дислокаций. Полученные здесь результаты могут найти применение при создании новых резонансных методов воздействия ультразвуковыми полями на субструктуру материалов и процессы пластической деформации и разрушения в них. Данная работа предпринята именно с такой целью. Ниже будет рассмотрена система компенсированных (с равным нулю дислокационным зарядом) дислокаций, состоящих из винтовых или краевых прямолинейных дислокаций, движущихся в своих плоскостях скольжения. Система винтовых дислокаций одного знака, образующих правильную суперрешетку, рассматривалась ранее в работе [7].

Кристалл с распределенными в нем дислокациями в некоторых отношениях сходен со средой с электрическими зарядами. В частности, это сходство выражается в рассмотренном ранее [8] эффекте дислокационной поляризации. В системе компенсированных дислокаций в начальном невозбужденном состоянии дислокационные заряды и обусловленное ими дальнедействие отсутствуют. Однако при возбуждении системы дислокационные

заряды появляются в результате дислокационной поляризации (перераспределения дислокаций), что приводит к дальнедействию и возможности коллективных колебательных возбуждений. В последующем теоретическом рассмотрении мы будем опираться на указанную аналогию с электрически поляризующейся средой.

1. Постановка задачи

Компенсированность дислокаций означает, что в равновесном (невозбужденном) состоянии системы тензор плотности дислокаций α_{pl} равен нулю

$$\alpha_{pl} = 0. \quad (1)$$

Условие (1) эквивалентно условию равенства нулю дислокационного заряда. Если речь идет о прямолинейных параллельных дислокациях одного типа, то (1) означает равенство плотностей положительных ρ_+ и отрицательных ρ_- дислокаций.

Макроскопической величиной, однозначно характеризующей макросостояние системы компенсированных дислокаций, является тензор дислокационной поляризации P_{ik} [9]. Можно считать, что в невозбужденном состоянии $P_{ik} = 0$. При коллективном возбуждении $P_{ik} = P_{ik}(\mathbf{r}, t)$ есть функция от пространственного положения \mathbf{r} и времени t . Пусть в качестве возмущающего фактора выступают упругие напряжения $\sigma_{lm}(\mathbf{r}, t)$. Тогда величина $P_{ik}(\mathbf{r}, t)$, зависящая от значений $\sigma_{lm}(\mathbf{r}, t')$ во все предшествующие моменты времени $t' < t$, выражается через интеграл

$$P_{ik} = \int_0^{\infty} \varepsilon_{iklm}(\tau) \sigma_{lm}(t - \tau) d\tau, \quad (2)$$

где $\varepsilon_{iklm}(\tau)$ — восприимчивость к дислокационной поляризации. Интегральное соотношение (2) является част-

ным случаем общеизвестного соотношения (см. (123.2) на с. 410 в [10]). Когда $P_{ik}(\mathbf{r}, t)$ и $\sigma_{lm}(\mathbf{r}, t)$ представляют собой гармонические функции от t ,

$$\begin{aligned} P_{ik}(\mathbf{r}, t) &= P_{ik}(\mathbf{r}, \omega) \exp(-i\omega t), \\ \sigma_{lm}(\mathbf{r}, t) &= \sigma_{lm}(\mathbf{r}, \omega) \exp(-i\omega t), \end{aligned} \quad (3)$$

(2) запишется в виде

$$P_{ik}(\mathbf{r}, \omega) = \varepsilon_{iklm}(\omega) \sigma_{lm}(\mathbf{r}, \omega), \quad (4)$$

где $\varepsilon_{iklm}(\omega)$ — тензор дислокационной поляризуемости

$$\varepsilon_{iklm}(\omega) = \int_0^{\infty} \varepsilon_{iklm}(\tau) \exp(i\omega\tau) d\tau. \quad (5)$$

Напряжения $\sigma_{lm}(\mathbf{r}, t)$ складываются из внешних (вынуждающих) $\sigma_{lm}^A(\mathbf{r}, t)$ и внутренних $\sigma_{lm}^D(\mathbf{r}, t)$ напряжений

$$\sigma_{lm}(\mathbf{r}, t) = \sigma_{lm}^A(\mathbf{r}, t) + \sigma_{lm}^D(\mathbf{r}, t). \quad (6)$$

Обозначим посредством $V_{iklm}(\mathbf{r}, \omega)$ интегральный оператор такой, что

$$\sigma_{lm}^D(\mathbf{r}, \omega) = \int V_{lmpq}(\mathbf{r} - \mathbf{r}', \omega) P_{pq}(\mathbf{r}', \omega) d\mathbf{r}'. \quad (7)$$

Используя (6), (7), соотношение (4) можно представить в виде следующего интегрального уравнения относительно $P_{ik}(\mathbf{r}, \omega)$:

$$\begin{aligned} P_{ik}(\mathbf{r}, \omega) &= \varepsilon_{iklm}(\omega) \int V_{lmpq}(\mathbf{r} - \mathbf{r}', \omega) P_{pq}(\mathbf{r}', \omega) d\mathbf{r}' \\ &+ \varepsilon_{iklm}(\omega) \sigma_{lm}^A(\mathbf{r}, \omega). \end{aligned} \quad (8)$$

Решение (8) описывает вынужденные поляризационные возмущения частоты ω в системе компенсированных дислокаций. При $\sigma_{lm}^A = 0$ имеем

$$P_{ik}(\mathbf{r}, \omega) = \varepsilon_{iklm}(\omega) \int V_{lmpq}(\mathbf{r} - \mathbf{r}', \omega) P_{pq}(\mathbf{r}', \omega) d\mathbf{r}'. \quad (9)$$

Решениям (9) соответствуют коллективные собственные возбуждения.

2. Вывод и анализ уравнений

Установим явный вид уравнения (9). Динамическое уравнение теории упругости относительно смещений $u_i(\mathbf{r}, t)$, обусловленных дислокационной поляризацией $P_{lm}(\mathbf{r}, t)$, записывается в виде [9]

$$\gamma \ddot{u}_i - c_{iklm} u_{m,k} = -c_{iklm} P_{lm,k}, \quad (10)$$

где γ — плотность тела, c_{iklm} — упругие константы; точка сверху обозначает дифференцирование по времени, индекс после запятой — дифференцирование по соответствующей пространственной координате. Отсюда,

используя тензорную функцию Грина упругой задачи $G_{ik}(\mathbf{r}, t)$, получаем для $u_i(\mathbf{r}, t)$ [9]

$$u_i(\mathbf{r}, t) = \int c_{klmn} G_{ik}(\mathbf{r} - \mathbf{r}', t - t') P_{mn,l}(\mathbf{r}', t') d\mathbf{r}' dt'. \quad (11)$$

Упругие дисторсии β_{mn}^D , источником которых является дислокационная поляризация P_{mn} , находятся путем вычитания из полной дисторсии $u_{n,m}$ тензора P_{mn} [9]

$$\beta_{mn}^D = u_{n,m}^T - P_{mn}. \quad (12)$$

Внутренние напряжения σ_{mn}^D связаны с β_{mn}^D законом Гука

$$\sigma_{ik}^D = c_{iklm} \beta_{mn}^D. \quad (13)$$

Из (11), (12) получаем

$$\begin{aligned} \beta_{mn}^D(\mathbf{r}, t) &= - \int c_{ijkl} G_{jn,im}(\mathbf{r} - \mathbf{r}', t - t') P_{kl}(\mathbf{r}', t') d\mathbf{r}' dt' \\ &- P_{mn}(\mathbf{r}, t). \end{aligned} \quad (14)$$

В случае, когда $\beta_{mn}^D(\mathbf{r}, t)$ и $P_{mn}(\mathbf{r}, t)$ являются гармоническими функциями времени вида (3), имеем

$$\begin{aligned} \beta_{mn}^D(\mathbf{r}, \omega) &= - \int c_{ijkl} G_{jn,im}(\mathbf{r} - \mathbf{r}', \omega) P_{kl}(\mathbf{r}', t') d\mathbf{r}' \\ &- P_{mn}(\mathbf{r}, \omega), \end{aligned} \quad (15)$$

где

$$G_{jn}(\mathbf{r}, \omega) = \int G_{jn}(\mathbf{r}, t) \exp(i\omega t) dt. \quad (16)$$

Подставив (15) в (13), выражаем σ_{lm}^D через P_{pq} :

$$\begin{aligned} \sigma_{lm}^D(\mathbf{r}, \omega) &= c_{lmpq} \int [-\delta_{pr} \delta_{qs} \delta(\mathbf{r} - \mathbf{r}') \\ &- c_{ijrs} G_{jq,ip}(\mathbf{r} - \mathbf{r}', \omega)] P_{rs}(\mathbf{r}', \omega) d\mathbf{r}'. \end{aligned} \quad (17)$$

Сопоставив (7) и (17), находим

$$\begin{aligned} V_{lmrs}(\mathbf{r} - \mathbf{r}', \omega) &= -c_{lmpq} [\delta_{pr} \delta_{qs} \delta(\mathbf{r} - \mathbf{r}') \\ &+ c_{qhrs} G_{hq,gp}(\mathbf{r} - \mathbf{r}', \omega)]. \end{aligned} \quad (18)$$

Таким образом, уравнение (9) с учетом (18) принимает вид

$$\begin{aligned} P_{ik}(\mathbf{r}, \omega) + \varepsilon_{iklm}(\omega) \int c_{lmpq} [\delta_{pr} \delta_{qs} \delta(\mathbf{r} - \mathbf{r}') \\ + c_{qhrs} G_{hq,gp}(\mathbf{r} - \mathbf{r}', \omega)] P_{rs}(\mathbf{r}', \omega) d\mathbf{r}' = 0. \end{aligned} \quad (19)$$

Дальнейшее рассмотрение проведем применительно к случаю, когда дислокации прямолинейны и принадлежат одной системе скольжения. Выберем, как в [8], прямоугольную систему координат x, y, z так, чтобы ось z совпала с направлением линий дислокаций, а y была нормальной к плоскостям скольжения. Кристалл считаем упругоизотропным. В этой специальной системе

координат единственной отличной от нуля компонентой тензора P_{ik} является P_{2k} , а тензора $\varepsilon_{iklm}(\omega)$ — компонента $\varepsilon_{2k2k}(\omega)$, где $k = 1$ в случае краевых и $k = 3$ — в случае винтовых дислокаций. Будем считать дислокации свободно скользящими в своих плоскостях скольжения, которые перпендикулярны оси y . Тогда, согласно [8], имеем с учетом сил инерции и вязкости

$$P = P_{2k} = b^2 \rho \xi(\omega); \quad (20)$$

$$\varepsilon(\omega) = \varepsilon_{2k2k} = b^2 \rho [L(\omega)]^{-1}, \quad (21)$$

где b — вектор Бюргера дислокации, ρ — полная плотность дислокаций, ξ — смещение положительной дислокации в направлении оси x . Здесь $L(\omega)$ определяется выражением

$$-L(\omega) = M\omega^2 + iB\omega, \quad (22)$$

где M — масса дислокации на единицу длины, B — коэффициент трения. Предполагая, что ξ зависит от \mathbf{r} и t как в плоской волне,

$$\xi(\mathbf{r}, t) = \xi_0 \exp[i(\mathbf{k}\mathbf{r} - \omega t)], \quad (23)$$

получаем из (19) с учетом (20)–(22) уравнение относительно амплитуды смещения дислокаций ξ_0

$$\xi_0 \left\{ L(\omega) + b^2 \rho \mu [-1 + c_{ij21}(\tilde{G}_{j1} k_i k_2 + \tilde{G}_{j2} k_i k_1)] \right\} = 0 \quad (24)$$

в случае краевых и

$$\xi_0 \left\{ L(\omega) + b^2 \rho \mu [-1 + c_{ij23}(\tilde{G}_{j3} k_i k_2 + \tilde{G}_{j2} k_i k_3)] \right\} = 0 \quad (25)$$

в случае винтовых дислокаций. Здесь $\tilde{G}_{ij} = \tilde{G}_{ij}(\mathbf{k}, \omega)$ — трансформанта Фурье функции Грина по пространственным координатам и времени

$$\tilde{G}_{ij}(\mathbf{k}, \omega) = \int G_{ij}(\mathbf{r}, t) \exp[-i(\mathbf{k}\mathbf{r} - \omega t)] d\mathbf{r} dt. \quad (26)$$

В изотропном случае имеем (см. (1.11) на с. 230 в [11])

$$\tilde{G}_{ij}(\mathbf{k}, \omega) = \frac{1}{\mu k^2 - \gamma \omega^2} \left[\delta_{ij} - \frac{(\lambda + \mu) k_i k_j}{(\lambda + 2\mu) k^2 - \gamma \omega^2} \right], \quad (27)$$

где δ_{ij} — символ Кронекера, μ — модуль сдвига, $\lambda = 2\nu\mu/(1 - 2\nu)$, ν — коэффициент Пуассона. Условия существования нетривиальных решений (23), (24) сводятся к дисперсионным уравнениям

$$L(\omega) - b^2 \rho \mu [1 - c_{ij21}(\tilde{G}_{j1} k_i k_2 + \tilde{G}_{j2} k_i k_1)] = 0 \quad (28)$$

в случае краевых и

$$L(\omega) - b^2 \rho \mu [1 - c_{ij23}(\tilde{G}_{j3} k_i k_2 + \tilde{G}_{j2} k_i k_3)] = 0 \quad (29)$$

в случае винтовых дислокаций.

Поскольку мы рассматриваем прямолинейные дислокации, т.е. двумерную задачу, $\mathbf{k} = (k_1, k_2)$. Уравнения (28), (29) с учетом (27) принимают вид соответственно

$$\left[(\omega^2 - \omega_0^2) + i(\kappa\omega) \right] + \omega_0^2 \left(\frac{\mu}{\mu k^2 - \gamma \omega^2} \right) \times \left[k^2 - 4 \frac{(\lambda + \mu) k_1^2 k_2^2}{(\lambda + 2\mu) k^2 - \gamma \omega^2} \right] = 0; \quad (30)$$

$$\left[(\omega^2 - \omega_0^2) + i(\kappa\omega) \right] + \omega_0^2 \left(\frac{\mu}{\mu k^2 - \gamma \omega^2} \right) = 0, \quad (31)$$

где $\kappa = B/M$,

$$\omega_0^2 = \frac{b^2 \rho \mu}{M}. \quad (32)$$

Если задаться единичным вектором \mathbf{n} направления волнового вектора, полагая $\mathbf{k} = k\mathbf{n}$, то уравнения (30), (31) позволяют получить зависимость $k = k(\omega)$ для коллективных возбуждений. Ввиду присутствия члена $i(\kappa\omega)$ значение $k(\omega)$ при действительной частоте ω будет комплексным: $k = k' + ik''$. Иными словами, имеет место затухание возбуждений, которое мало только в области достаточно высоких частот

$$\omega \gg \kappa. \quad (33)$$

Однако, чтобы наблюдать интересные особенности спектра коллективных возбуждений, надо фактически потребовать выполнения неравенства $\omega_0 \gg \kappa$, т.е.

$$B \ll b\sqrt{\rho\mu M}. \quad (34)$$

Как видно из (34), слабое затухание может быть достигнуто при высокой плотности дислокаций ρ или малом B (например, в условиях сверхпроводимости, когда электронный вклад в B мал [12]).

Предполагая условие (34) выполненным и пренебрегая затуханием (членом $i\kappa\omega$), получаем из (31) дисперсионное уравнение в случае винтовых дислокаций ($\omega^2 \neq c_t^2 k^2$)

$$\omega^4 - (\omega_0^2 + c_t^2 k^2) \omega^2 + \omega_0^2 n_1^2 c_t^2 k^2 = 0, \quad (35)$$

где $c_t = \sqrt{\mu/\gamma}$ — скорость поперечных волн. Биквадратное относительно ω^2 уравнение (35) имеет два решения

$$\omega_{1,2}^2 = \frac{1}{2} (\omega_0^2 + c_t^2 k^2) \pm \frac{1}{2} \left[(\omega_0^2 + c_t^2 k^2)^2 - 4\omega_0^2 n_1^2 c_t^2 k^2 \right]^{1/2}. \quad (36)$$

Согласно (36), дисперсионная кривая $\omega = \omega(k)$ состоит из двух ветвей. На первой $\omega_1^2 > \omega_0^2$, причем при $k \rightarrow 0$

$$\omega_1^2 \rightarrow (\omega_0^2 + n_2^2 c_t^2 k^2), \quad (37)$$

а при $k \rightarrow \infty$ соответственно

$$\omega_1^2 \rightarrow (c_t^2 k^2 + n_2^2 \omega_0^2). \quad (38)$$

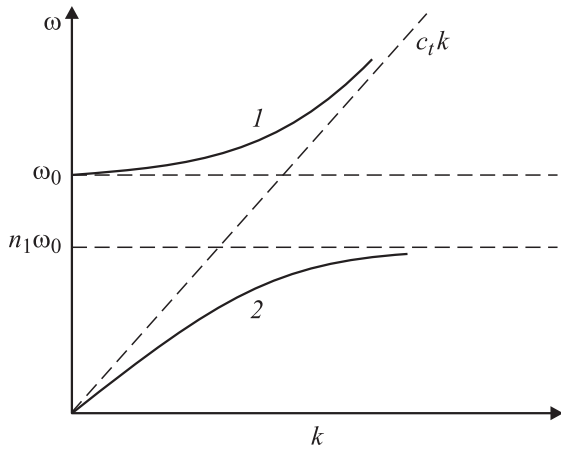


Рис. 1. Вид дисперсионных кривых в случае винтовых дислокаций.

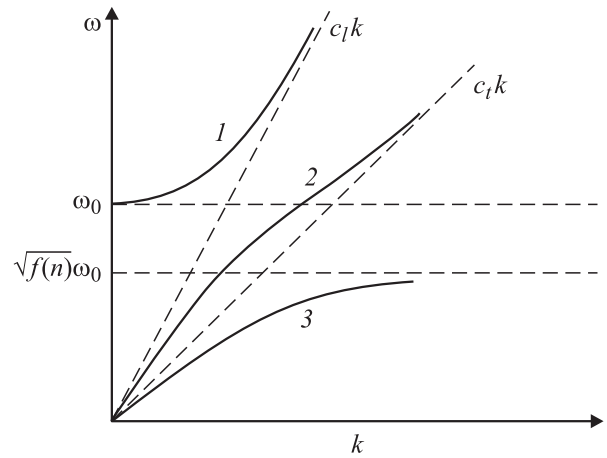


Рис. 2. Вид дисперсионных кривых в случае краевых дислокаций.

На второй ветви $\omega_2^2 < \omega_0^2$. При $k \rightarrow 0$

$$\omega_2^2 \rightarrow n_1^2 c_t^2 k^2, \quad (39)$$

а при $k \rightarrow \infty$

$$\omega_2^2 \rightarrow n_1^2 \omega_0^2. \quad (40)$$

Обе зависимости $\omega = \omega_{1,2}(k)$ представлены схематически в координатах (ω, k) на рис. 1 кривыми 1 и 2 соответственно, пунктиром изображены три асимптоты: из них $\omega = \omega_0$ и $\omega = n_1 \omega_0$ — горизонтальные, $\omega = c_t k$ — наклонная.

Полагая $ik\omega = 0$, получаем из (30) в случае краевых дислокаций ($\omega^2 \neq c_t^2 k^2$, $\omega^2 \neq c_l^2 k^2$)

$$\omega^6 - (\omega_0^2 + c_t^2 k^2 + c_l^2 k^2)\omega^4 + (c_l^2 c_t^2 k^4 + \omega_0^2 c_t^2 k^2)\omega^2 - \omega_0^2 f(\mathbf{n})c_l^2 c_t^2 k^4 = 0, \quad (41)$$

где $c_l = \sqrt{(\lambda + 2\mu)/\rho}$ — скорость продольных волн, $f(\mathbf{n})$ — функция от \mathbf{n} вида (максимум $f_{\max} = (c_l^2 - c_t^2)/c_l^2 = (\lambda + \mu)/(\lambda + 2\mu) < 1$)

$$f(\mathbf{n}) = 4 \left(\frac{c_l^2 - c_t^2}{c_l^2} \right) n_1^2 n_2^2. \quad (42)$$

Уравнение (41) является кубическим относительно ω^2 и имеет три ветви положительных решений $\omega_{1,2,3}(k)$. При $k \rightarrow \infty$ имеем

$$\omega_1(k) \rightarrow c_l k; \quad (43)$$

$$\omega_2(k) \rightarrow c_t k; \quad (44)$$

$$\omega_3(k) \rightarrow \sqrt{f(\mathbf{n})}\omega_0. \quad (45)$$

При $k \rightarrow 0$

$$\omega_1^2(k) \rightarrow (\omega_0^2 + c_t^2 k^2). \quad (46)$$

Решения $\omega_2(k)$, $\omega_3(k)$ порядка k при $k \rightarrow 0$. В этом случае уравнение (41) принимает асимптотический вид

$$\omega^4 - c_t^2 k^2 \omega^2 + f(\mathbf{n})c_l^2 c_t^2 k^4 = 0 \quad (47)$$

и его решения

$$\omega_{2,3}^2 = \frac{1}{2} c_t^2 k^2 \pm \frac{1}{2} [c_l^4 k^4 - 4f(\mathbf{n})c_l^2 c_t^2 k^4]^{1/2}. \quad (48)$$

Из (48) следует, что при $k \rightarrow 0$

$$\omega_{2,3} = \frac{1}{\sqrt{2}} \left\{ c_t^2 \pm [c_l^4 - 4f(\mathbf{n})c_l^2 c_t^2]^{1/2} \right\}^{1/2} k. \quad (49)$$

При $f(\mathbf{n}) = 0$ тангенс угла наклона $\omega_2'(0) = c_l$, а $\omega_3'(0) = 0$. При максимальном значении $f(\mathbf{n}) = f_{\max} = (c_l^2 - c_t^2)/c_l^2$ тангенс угла наклона $\omega_2'(0) = c_t = \omega_3'(0)$. Зависимости $\omega_{1,2,3}(k)$ представлены схематически на рис. 2 кривыми 1, 2 и 3 соответственно. Пунктиром изображены асимптоты: $\omega = \omega_0$ и $\omega = \sqrt{f(\mathbf{n})}\omega_0$ — горизонтальные, $\omega = c_l k$ и $\omega = c_t k$ — наклонные.

3. Обсуждение результатов

Как было показано выше, при выполнении условия слабого затухания (34) в системе компенсированных дислокаций возможны коллективные колебательные возбуждения типа плоских волн поляризации (20), (23). В случае винтовых дислокаций мы имеем две ветви возбуждений (рис. 1), в случае краевых дислокаций — три (рис. 2). Кроме того, вид дисперсионных кривых зависит от направления волнового вектора \mathbf{n} в плоскости xy .

При $k \rightarrow 0$ зависимости $\omega_{2,3}(k) \sim k$, т.е. ведут себя подобно акустическим ветвям колебаний в кристалле. При $k \rightarrow 0$ значение частоты $\omega_1(k) \rightarrow \omega_0$, что типично для оптических колебаний. Можно отметить некоторое сходство спектра коллективных возбуждений на рис. 1 со спектром поляритонных возбуждений в диэлектриках (см. рис. 16 на с. 66 в [13]). Это сходство вполне естественно, поскольку там и здесь дальное действие с одинаковым законом спадаения связано с поляризацией, хотя и различной природы.

Выше мы не учитывали наличие потенциального рельефа кристаллической решетки (рельефа Пайерлса).

В случае возбуждений малой амплитуды это можно учесть, как и в [9], путем замены $\omega_0 \rightarrow (\omega_0 + \omega_p)$, где ω_p — частота колебаний одиночной дислокации, находящейся в долине потенциального рельефа решетки.

Изложенные результаты относились к бесконечному кристаллу. Мнимые упругие поля, связанные с наличием свободных поверхностей в конечном кристалле, будут существенными только тогда, когда средние по объему, равному объему кристалла V_0 , значения напряжений в бесконечном теле отличны от нуля. Напряжения, обусловленные поляризацией вида (20), (23), при указанном усреднении пренебрежимо малы, если величина волнового вектора k и линейные размеры кристалла L_0 удовлетворяют условию,

$$kL_0/2\pi \gg 1. \quad (50)$$

Для алюминия $b = 2.86 \cdot 10^{-10}$ м, $\mu = 2.7 \cdot 10^{10}$ Па, $M = 6.7 \cdot 10^{-16}$ кг/м [3]. Полагая $\rho \sim 10^{16}$ м⁻², получаем из (32) оценку $\omega_0 \sim 10^{11}$ с⁻¹. При $c_t \sim 10^3$ м/с точке пересечения асимптот $\omega = \omega_0$ и $\omega = c_t k$ соответствует значение $k \sim 10^8$ м⁻¹, которое на много порядков больше типичного значения $(2\pi/L_0) \sim 10^3$ м⁻¹, и условие (50) заведомо выполняется. Таким образом, влиянием свободной поверхности можно пренебречь.

Далее, при $B = 10^{-5}$ Па · с и тех же значениях остальных параметров имеем $\kappa = B/M \sim 10^{10}$ с⁻¹, так что при $\omega_0 \sim 10^{11}$ с⁻¹ условие слабого затухания (34) выполняется. Таким образом, экспериментальное наблюдение коллективных возбуждений вполне возможно. При этом желательно выбрать материал с большими значениями b , μ , γ и малым B (34). Малые значения B можно получить путем выбора подходящего материала, а также понижения температуры и перевода в сверхпроводящее состояние.

Данная работа имеет своей целью теоретическое исследование вопроса о принципиальной возможности существования коллективных возбуждений колебательного характера в системе компенсированных дислокаций. Эксперименты по наблюдению теоретически предсказанных коллективных возбуждений предполагается провести в последующих работах.

Исследования в данном направлении и полученные результаты могут представлять не только теоретический, но и практический интерес для создания новых резонансных методов воздействия на субструктуру кристаллов, процесс пластической деформации, усталостного разрушения и т. д.

Список литературы

- [1] Никаноров С.П., Кардашев Б.К. Упругость и дислокационная неупругость кристаллов. М.: Наука, 1985. 284 с.
- [2] Постников В.С. Внутреннее трение в металлах. М.: Металлургия, 1974. 350 с.
- [3] Труэлл Р., Элбаум Ч., Хиката А. // Физическая акустика / Под ред. У. Мэзона. Т. III. Ч. А. Влияние дефектов на свойства твердых тел. М.: Мир, 1969. 578 с.

- [4] Рыбин В.В. Большие пластические деформации и разрушение материалов. М.: Металлургия, 1986. 279 с.
- [5] Валиев Р.З., Александров И.В. Наноструктурные материалы, полученные интенсивной пластической деформацией. М.: Логос, 2000. 272 с.
- [6] Буренков Ю.А., Никаноров С.П., Смирнов Б.И., Копылов В.И. // ФТТ. 2003. Т. 45. № 11. С. 2017.
- [7] Косевич А.М. // ФНТ. 2004. Т. 30. № 3. С. 332.
- [8] Ханнанов Ш.Х. // ФММ. 1992. № 6. С. 34.
- [9] Косевич А.М. Дислокации в теории упругости. Киев: Наукова думка, 1978. 220 с.
- [10] Ландау Л.Д., Лифшиц Е.М. Статическая физика. Ч. 1. М.: Наука, 1976. 584 с.
- [11] Шермергов Т.Д. Теория упругости микронеоднородных сред. М.: Наука, 1982. 620 с.
- [12] Динамика дислокаций / Под ред. В.И. Старцева. Киев: Наукова думка, 1975. 402 с.
- [13] Давыдов А.С. Теория твердого тела. Киев: Наукова думка, 1976. 640 с.